

---

**Universidade Federal de São Paulo**

Instituto de Ciência e Tecnologia

---



**Relatório de Modelagem Computacional**  
**Projeto 02 - Redes Tróficas**

**Modelo Presa-Predador**

**Celso Gabriel Vieira Robeiro Lopes (123119),  
Felipe Hikari Kawahama (112197), Lucas Eduardo  
Nogueira Gonçalves (122055).**

Prof. Dr. Marcos Gonçalves Quiles

São José dos Campos  
Março, 2018

## MODELO, MATERIAIS E MÉTODO

---

### 1.1 INTRODUÇÃO A REDES TRÓFICAS - EQUAÇÃO LOGÍSTICA

A teia alimentar, também conhecido como rede trófica, é uma coleção de relações que ligam os diferentes seres vivos. Uma rede trófica é formada por várias cadeias alimentares. Uma determinada população pode servir como alimento para diferentes espécies enquanto outra pode alimentar-se de diferentes população. Numa rede trófica encontram-se três grupos de seres vivos: os produtores (Grama por exemplo); os consumidores, organismos heterotróficos (ex.: Rato, Vaca, Leão e Águia ); e os decompositores.

*"Uma população, se não contida, cresce de forma exponencial."*

Note que a afirmação anterior se refere a parte numérica da situação, onde de fato, quanto maior a população, mais ela cresce.

Com isso é necessário desenvolver modelos que consideram a limitações que uma certa população enfrenta. Ao decorrer deste trabalho, será utilizado o Modelo da Equação logística aplicada ao o Modelo de Malthus, para simular uma rede trófica envolvendo um organismo produtor, dois animais herbívoros e dois carnívoros.

O Modelo de Malthus diz que podemos representar a variação instantânea, como uma constante multiplicando o valor da população, ou seja:

Sendo  $N$  uma população genérica, representamos então a variação de  $N$  sendo:

$$\frac{dN}{dt} = \alpha N(t)$$

A Equação Logística foi proposta por Pierre François Verhulst, matemático e doutor na teoria dos números da Universidade de Gante, e ela diz que devemos incluir uma saturação no modelo de Malthus logo, podemos representá-la da seguinte forma:

$$\frac{dN}{dt} = \alpha N(t) - \beta N(t)^2 = \alpha N(t) \left(1 - \frac{N(t)}{k}\right)$$

Onde  $k$  é consequência da divisão de  $\beta$  por  $\alpha$ , e  $\alpha$  representa a taxa de crescimento da população, enquanto  $k$  representa a capacidade de suporte do ambiente (saturação).

Note que equação logística possui pontos de equilíbrios, ou seja é possível fazer com que ela se mantenha constante, isso acontece quando  $N(t) = 0$  e o segundo quando  $k = N(t)$ , no primeiro caso dizemos que ele é um ponto instável, pois no momento que isso ocorre uma mudança brusca no sistema, e quando  $k = N(t)$ , ou se aproximando, todo o sistema vai se modelando em volta daquele valor.

## 1.2 MODELO LOTKA-VOLTERRA

Note que seção anterior se refere ao modelo que considera uma única espécie, mas existe a possibilidade de mais uma espécie conviver no mesmo sistema, seja competindo, ajudando ou sendo prejudicada graças a presença da outra.

Desse modo podemos introduzir o modelo de Lotka-Volterra, ou seja as equações diferenciais, não lineares e de primeira ordem, utilizadas para descrever sistemas biológicos, especialmente quando várias espécies interagem entre si.

O modelo de Lotka-Volterra pode ser descrito como:

$$\frac{dP}{dt} = P(\alpha V - \beta)$$

$$\frac{dV}{dt} = V(\lambda - \phi P)$$

Sendo que  $P$  representa um predador,  $V$  uma presa, e as constantes  $\alpha, \beta, \lambda, \phi$  são consequências da aplicação da equação logística no sistema.

Onde  $\alpha$  é a taxa em que o predador se beneficia da presa, e o  $\beta$  uma morte natural. Enquanto  $\lambda$  representa o aumento da presa e  $\phi$  o quanto a vítima é prejudicada pelo predador.

Note que esse tipo de modelo representa uma situação com duas espécies, em nosso projeto, vamos tratar de uma situação com cinco espécies, sendo elas: Grama, Rato, Vaca, Águia e Leão.

## 1.3 MODELO BIOLÓGICO IDEALIZADO

O modelo criado leva em conta as seguintes populações no ecossistema:

- $G(t)$ : a "população" de grama no tempo  $t$ . Representa a parte mais baixa da cadeia alimentar.
- $R(t)$ : a população de ratos no tempo  $t$ . Consideramos aqui, que os ratos se alimentam apenas da grama.
- $V(t)$ : a população das vacas no tempo  $t$ . Consideramos, novamente, que as vacas se alimentam apenas da grama.
- $A(t)$ : a população das águias no tempo  $t$ . Consideramos que as águias se alimentam somente da população dos ratos.
- $L(t)$ : a população dos leões no tempo  $t$ . Consideramos que os leões se alimentam tanto da população dos ratos quanto das vacas.

Portanto, a representação na forma de grafo da dinâmica do sistema é a seguinte:

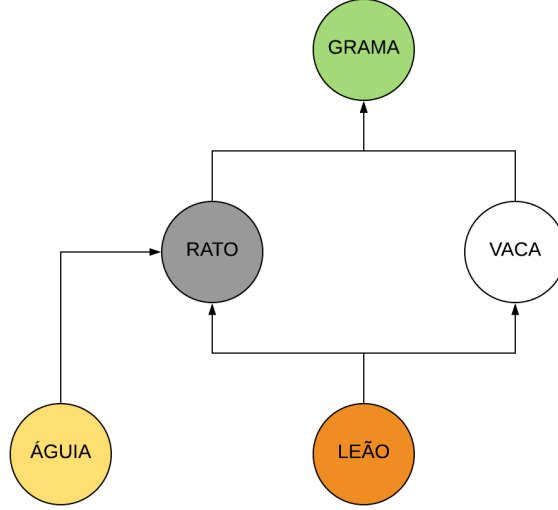


Figura 1: Grafo representando as interações entre as populações do sistema.

Agora, partindo pro modelo matemático elaborado, temos que o sistema de equações usado para modelar a rede trófica é o que segue:

$$\left\{ \begin{array}{l} \frac{dG}{dt} = G(t) \left( \kappa - \frac{G(t)}{k} \right) - \gamma_{G_1} V(t) - \gamma_{G_2} R(t) \\ \frac{dR}{dt} = R(t) (\theta_R G(t) - \gamma_{R_1} A(t) - \gamma_{R_2} L(t) - \mu_R) \\ \frac{dV}{dt} = V(t) (\theta_V G(t) - \gamma_V L(t) - \mu_V) \\ \frac{dA}{dt} = A(t) (\theta_A R(t) - \mu_A) \\ \frac{dL}{dt} = L(t) (\theta_{L_1} R(t) + \theta_{L_2} V(t) - \mu_L) \end{array} \right. \quad (1)$$

Em que os parâmetros utilizados são descritos em detalhe na tabela a seguir:

Tabela 1: Resumo dos parâmetros utilizados no sistema.

Símbolo	Significado
$\kappa$	Taxa de crescimento da grama
$k$	Capacidade de suporte do ambiente
$\gamma_{G_1}$	Taxa em que a grama é prejudicada em proporção a população de vacas
$\gamma_{G_2}$	Taxa em que a grama é prejudicada em proporção a população de ratos
$\gamma_{R_1}$	Taxa em que o rato é prejudicado, em proporção a população de águias
$\gamma_{R_2}$	Taxa em que o rato é prejudicado, proporção a população de leões
$\gamma_V$	Taxa em que a vaca é prejudicada, em proporção a população de leões
$\mu_R$	Taxa de mortalidade do rato
$\mu_V$	Taxa de mortalidade da vaca
$\mu_A$	Taxa de mortalidade da águia
$\mu_L$	Taxa de mortalidade do leão
$\theta_R$	Taxa em que o rato se beneficia da grama
$\theta_V$	Taxa em que a vaca se beneficia da grama
$\theta_A$	Taxa em que a águia se beneficia do rato
$\theta_{L_1}$	Taxa em que o leão se beneficia do rato
$\theta_{L_2}$	Taxa em que o leão se beneficia da vaca

Tabela 2: Matriz relacionando os parâmetros com as populações

	G	R	V	A	L
G	$k$	$-\gamma_{G_2}$	$-\gamma_{G_2}$	-	-
R	$\theta_R$	$-\mu_R$	$-\gamma_{R_1}$	$-\gamma_{R_2}$	
V	$\theta_V$	-	$-\mu_V$	-	$\gamma_V$
A	-	$\theta_A$	-	$-\mu_A$	-
L	-	$\theta_{L_1}$	$\theta_{L_2}$	-	$-\mu_L$

#### 1.4 APLICAÇÃO DO MÉTODO DO EULER

Similar ao projeto anterior, vamos utilizar o método de Euler para obtermos aproximadamente o comportamento de cada população no ecossistema, com passo de integração  $\Delta t = 0.001$ , em que consideramos, este como sendo o passar de uma semana na simulação.

Assim, assumindo que  $\frac{dP_i}{dt}$ , ou seja a taxa de variação de uma determinada população  $P_i$  para valores infinitesimais de tempo pode ser aproximada para  $\frac{\Delta P_i}{\Delta t}$ . As equações do sistema ficam da seguinte forma:

$$\left\{ \begin{array}{l} \frac{\Delta G}{\Delta t} = G(t)(\kappa(1 - \frac{G(t)}{k}) - \gamma_{G_1}V(t) - \gamma_{G_2}R(t)) \\ \frac{\Delta R}{\Delta t} = R(t)(\theta_R G(t) - \gamma_{R_1}A(t) - \gamma_{R_2}L(t) - \mu_R) \\ \frac{\Delta V}{\Delta t} = V(t)(\theta_V G(t) - \gamma_V L(t) - \mu_V) \\ \frac{\Delta A}{\Delta t} = A(t)(\theta_A R(t) - \mu_A) \\ \frac{\Delta L}{\Delta t} = L(t)(\theta_{L_1}R(t) + \theta_{L_2}V(t) - \mu_L) \end{array} \right. \quad (2)$$

Lembrando que  $\Delta G$  é a variação da grama, podemos escrever:  $G(t + \Delta t) = G(t) + \Delta G$ . Aplicando isso nas outras populações, chegamos na versão do sistema que foi implementada numericamente em  $C$ :

$$\left\{ \begin{array}{l} G(t + \Delta t) = G(t) + G(t)\Delta t(\kappa(1 - \frac{G(t)}{k}) - \gamma_{G_1}V(t) - \gamma_{G_2}R(t)) \\ R(t + \Delta t) = R(t) + R(t)\Delta t(\theta_R G(t) - \gamma_{R_1}A(t) - \gamma_{R_2}L(t) - \mu_R) \\ V(t + \Delta t) = V(t) + V(t)\Delta t(\theta_V G(t) - \gamma_V L(t) - \mu_V) \\ A(t + \Delta t) = A(t) + A(t)\Delta t(\theta_A R(t) - \mu_A) \\ L(t + \Delta t) = L(t) + L(t)\Delta t(\theta_{L_1}R(t) + \theta_{L_2}V(t) - \mu_L) \end{array} \right. \quad (3)$$

## 1.5 MATERIAIS

A implementação do Método de Euler para a resolução numérica do sistema de equações foi feita na linguagem  $C$ . Para gerar os gráficos de estabilidade, sem as perturbações/variações externas como veremos a seguir, foi utilizado o software Berkeley Madonna. Enquanto que os gráficos com as perturbações/variações foram feitos utilizando Microsoft Excel.

## SIMULAÇÕES E RESULTADOS

---

### 2.1 SIMULAÇÃO 1

Na primeira simulação, consideramos as seguintes populações iniciais:

- $G(0) = 130$
- $R(0) = 30$
- $V(0) = 5$
- $A(0) = 10$
- $L(0) = 4$

E utilizamos os seguintes valores para os parâmetros:

Tabela 3: Valor dos parâmetros utilizados na Simulação 1.

Símbolo	Valor
$\kappa$	8
$k$	1000
$\gamma_{G_1}$	0.1
$\gamma_{G_2}$	0.2
$\theta_R$	0.6
$\gamma_{R_1}$	0.8
$\gamma_{R_2}$	0.002
$\mu_R$	0.1
$\theta_V$	0.06
$\gamma_V$	0.87
$\mu_V$	0.03
$\theta_A$	0.029999
$\mu_A$	0.8
$\theta_{L_1}$	0.001
$\theta_{L_2}$	0.03
$\mu_L$	0.99

Utilizando o programa Berkley Madonna, foi possível plotar os gráficos representando as populações em diferentes instantes, como vemos na imagem a seguir:

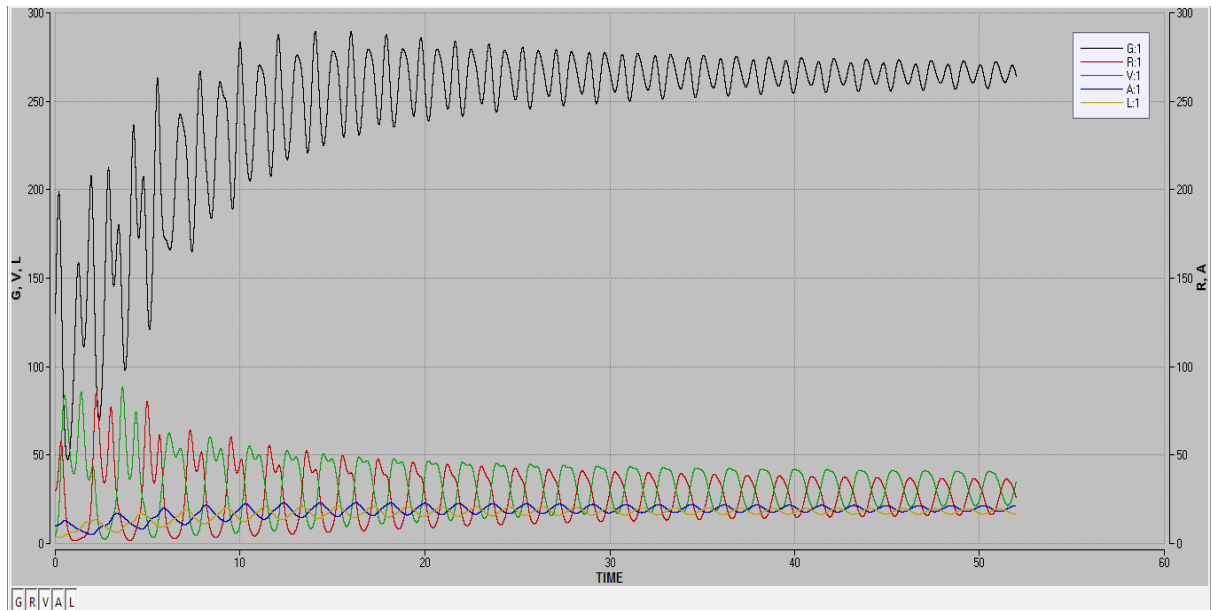


Figura 2: Gráfico das populações, por tempo, da Simulação 1.

Onde o gráfico preto representa a população de grama, o vermelho, a população de rato; o verde, a população de vaca; o azul, a população de águias e o amarelo, a população de leões.

Após variações significativas das populações nos primeiros instantes da simulação, podemos observar que após o instante  $t=20$ , aproximadamente, todas as populações começam a convergir, oscilando entre diferentes valores:

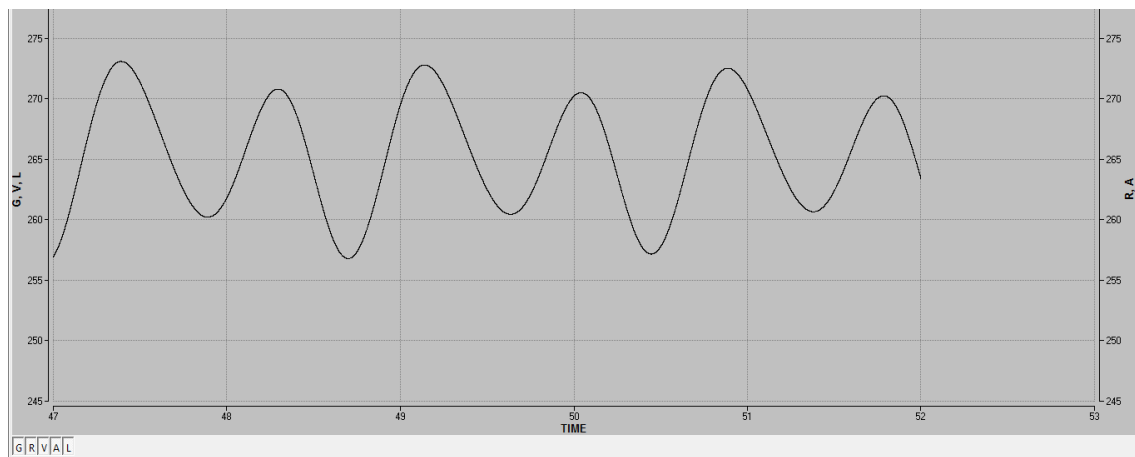


Figura 3: Zoom na figura acima, focando na população G

Da figura[3], podemos notar que a população de grama varia entre aproximadamente 256 e 273.



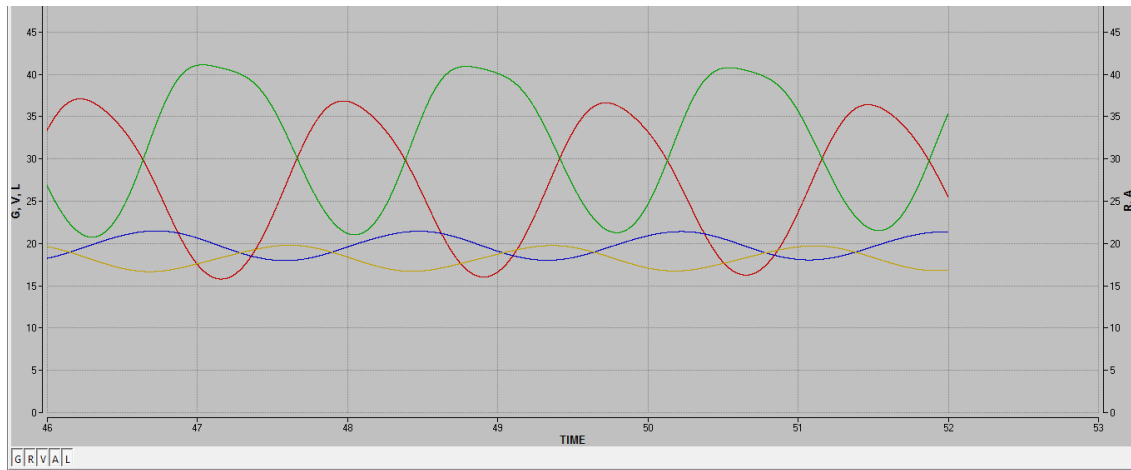


Figura 4: Zoom na figura [2], focando nas populações de ratos, vacas, águias e leões.

Da figura [4], podemos observar que a população de ratos (vermelho) varia entre aproximadamente 16 e 36. A população de vacas (verde) varia entre aproximadamente 22 e 41. A população de águia (azul) varia entre aproximadamente 17 e 22. E a população de leões (amarelo) varia entre aproximadamente 16 e 20.

Afim de estudar o ponto de equilíbrio do sistema modelado, fizemos as seguintes perturbações durante a execução da Simulação 1:

### 2.1.1 Perturbação 1: Gripe Bovina

No tempo  $t=35$ , aumentamos a taxa de mortalidade de  $V$  ( $\mu_v$ ) de 0,03 para 4. para simular uma doença que atingiu essa população. No tempo  $t=60$ , a população adquire imunidade da doença e  $\mu_v$  volta ao valor original. O comportamento das populações está representado na figura a seguir:

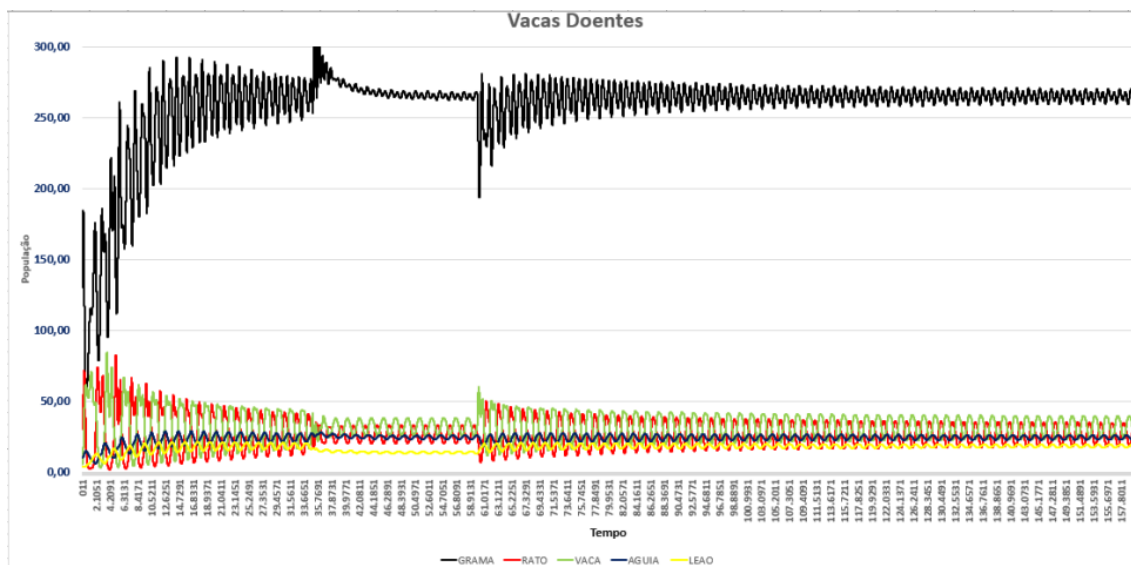


Figura 5: Gráfico das populações, por tempo, sob a Perturbação 1.

Note que em  $t=35$ , que é quando aumentamos a taxa de mortalidade de V, L começa a morrer mais (por falta de alimento) e G começa a crescer (por ausência de predador). Mas o sistema rapidamente volta a estabilizar. Em  $t=60$ , que é quando V adquire imunidade à doença, temos um pequeno aumento na população de V, devido a sua reduzida taxa de mortalidade, fazendo com que L aumente novamente, e R se reduza levemente (devido a competição por G). O sistema entra novamente em equilíbrio, após um breve período de tempo.

### 2.1.2 Perturbação 2: Fenômeno Natural Recorrente

No tempo  $t=25$ , diminuímos a população de G em 50%, e a cada intervalo de tempo 25, diminuímos novamente. Simulando assim, um fenômeno natural periódico que varre a vegetação do local. O comportamento das populações em relação a essa perturbação segue no gráfico a seguir:

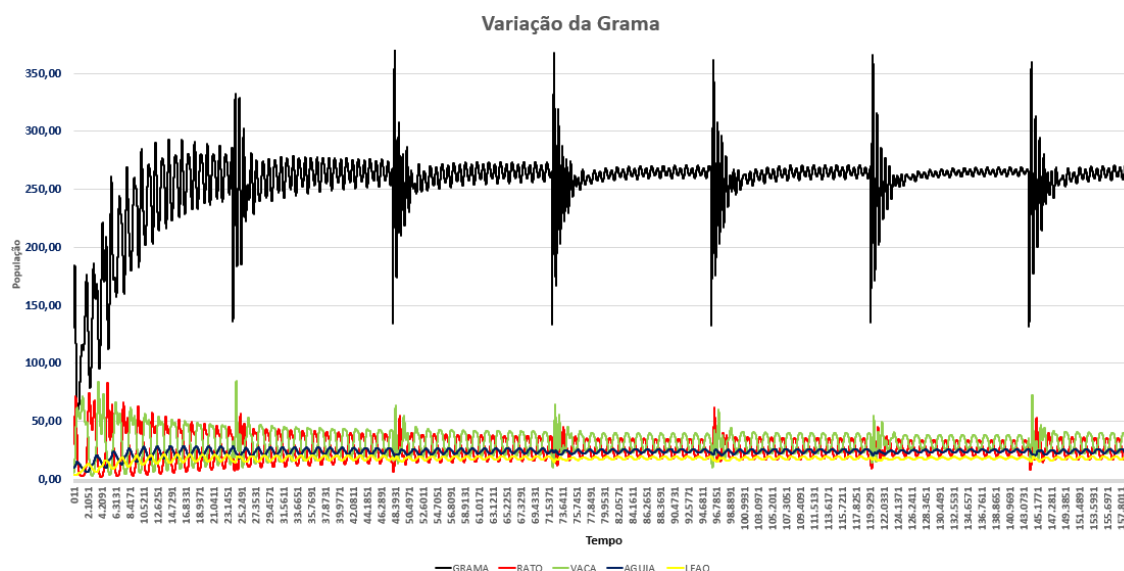


Figura 6: Gráfico das populações por tempo, sob a Perturbação 2.

Note que, por termos essa variação periódica, temos um comportamento bem definido em intervalos de tempo a cada  $t=25$ , a grama diminui, e como R depende mais de G, do que V, V acaba crescendo com o decaimento de R e subsequente aumento de G, e isso se repete até as populações se estabilizarem novamente. Note que as populações dos predadores não se alteram muito. Mas o importante a se ressaltar, é que mesmo com essa variação externa de G, o sistema ainda tende a um equilíbrio bem definido.

### 2.1.3 Perturbação 3: Surto Populacional de Ratos

No tempo  $t=35$ , aumentamos a taxa de crescimento de R ( $\theta_R$ ) de 0.6 para 0.999, simulando um processo de surto de crescimento de R. Em  $t=45$ , ( $\theta_R$ ) volta ao seu valor original. Os resultados obtidos podem ser vistos no gráfico a seguir:

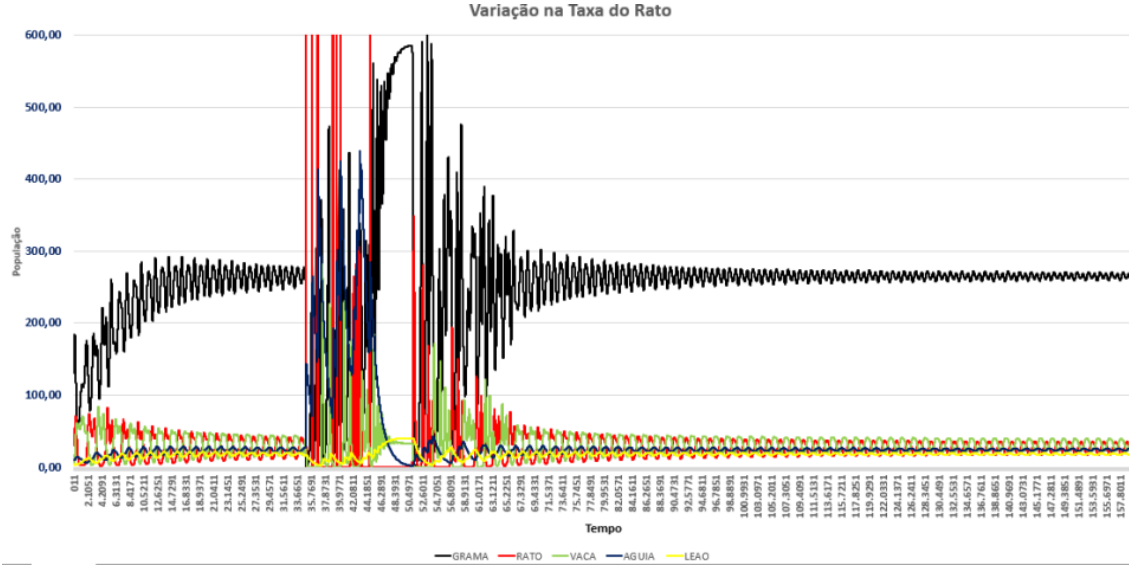


Figura 7: Gráfico das populações por tempo, sob a Perturbação 3.

Temos nessa situação, um comportamento bem instável do sistema, R cresce muito rápido, causando um aumento em A e uma súbita redução em G, e consequentemente em V. Como G cai muito, R também diminui muito rápido, causando "explosões" em todas as populações (apenas L não é muito afetado). Até que em  $t=45$ , voltamos ao  $\theta_R$  original, R cai muito rápido devido a essa diferença em sua taxa de crescimento, fazendo com que G creça bastante, o que faz com que R cresça novamente e o processo se repete até o sistema entrar em equilíbrio novamente.

## 2.2 SIMULAÇÃO 2

Na segunda simulação, consideramos as seguintes populações iniciais:

- $G(0) = 1000$
- $R(0) = 20$
- $V(0) = 50$
- $A(0) = 20$
- $L(0) = 15$

E utilizamos os seguintes valores para os parâmetros:

Tabela 4: Valor dos parâmetros utilizados na Simulação 2.

Símbolo	Valor
$\kappa$	8
$k$	10000
$\gamma_{G_1}$	0.1
$\gamma_{G_2}$	0.1
$\theta_R$	0.04
$\gamma_{R_1}$	0.8
$\gamma_{R_2}$	0.002
$\mu_R$	0.9
$\theta_V$	0.05
$\gamma_V$	0.999
$\mu_V$	0.02
$\theta_A$	0.029
$\mu_A$	0.8
$\theta_{L_1}$	0.001
$\theta_{L_2}$	0.03
$\mu_L$	0.99

Plotando as diferentes populações do modelo nos diferentes instantes de tempo  $t$ , temos o seguinte gráfico:

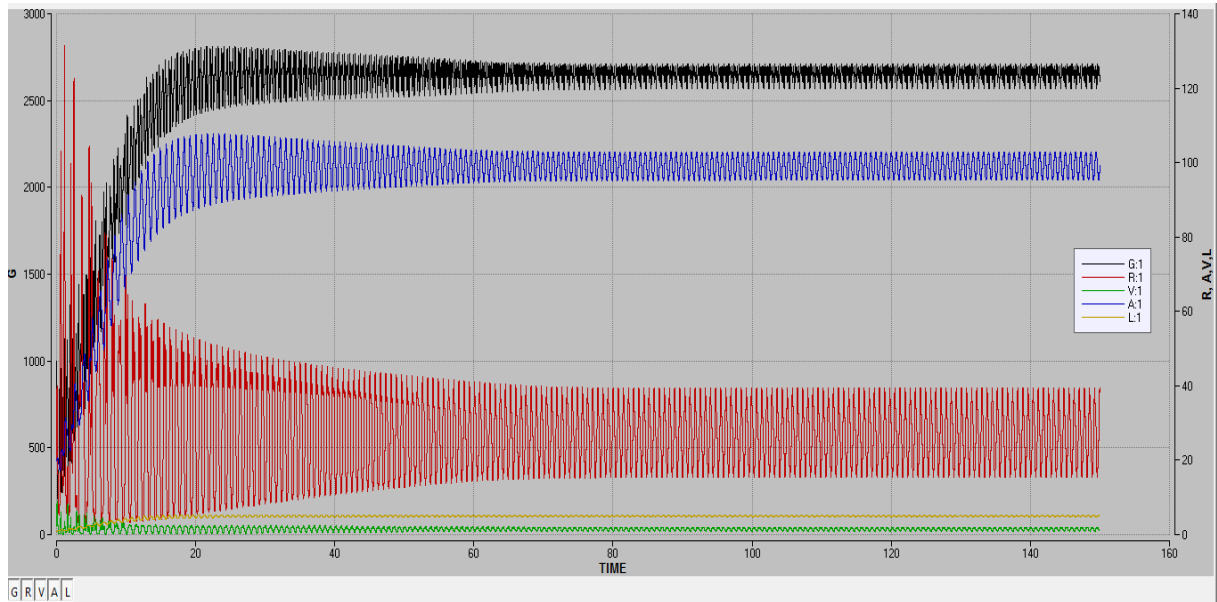


Figura 8: Gráfico das populações, por tempo, da Simulação 2.

Em que as cores representam as mesmas populações da Simulação 1. (Note que alteramos a escala do eixo vertical à direita, para melhor representar as populações de  $R, A, V, L$ ).

Após variações significativas das populações nos instantes iniciais, todas as populações começam a convergir, oscilando entre diferentes valores:

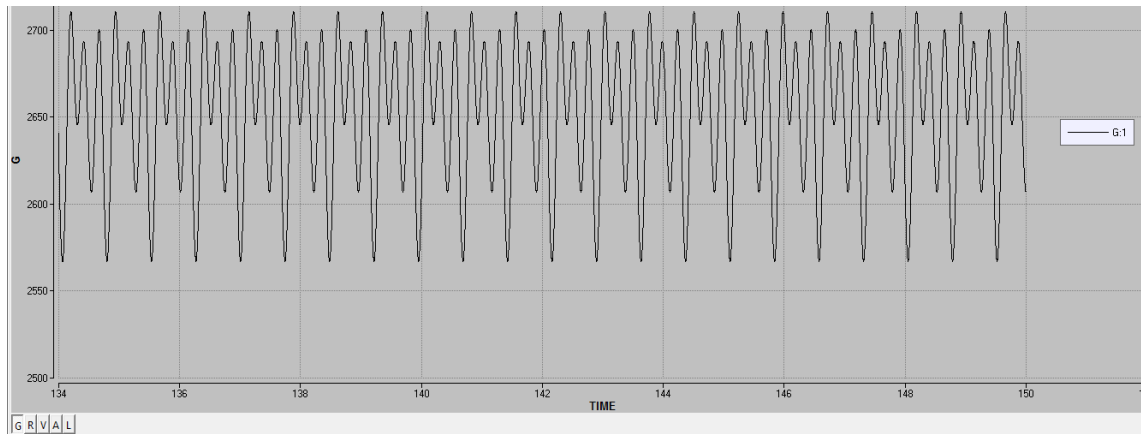


Figura 9: Zoom na figura acima, focando na população G.

Da figura [9], podemos observar que a população varia entre aproximadamente 2560 a 2720

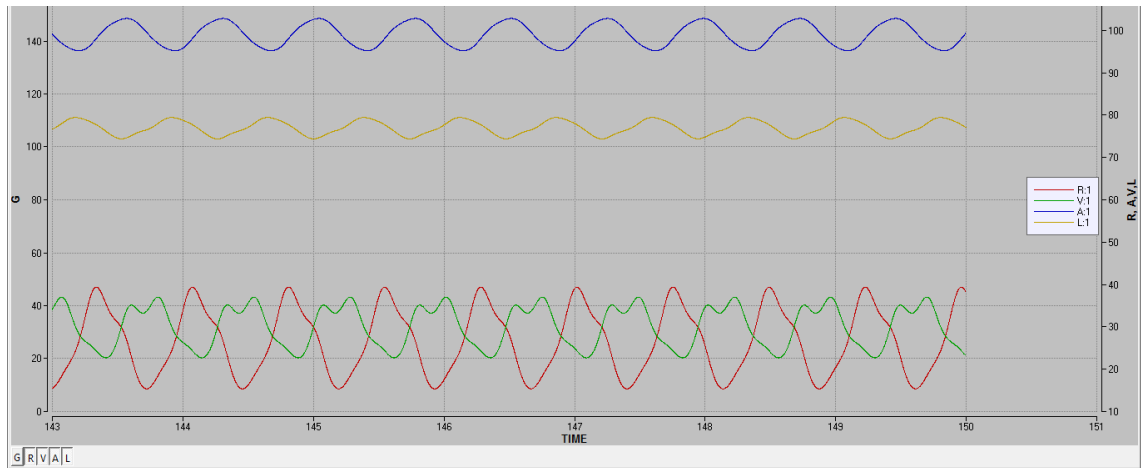


Figura 10: Zoom na figura, focando as populações de R,V,A,L.

Da imagem, podemos observar que a R varia entre aproximadamente 13 e 40; V varia entre aproximadamente 22 e 38; A varia entre aproximadamente 135 e 148; L varia entre aproximadamente entre 102 e 112.

Afim de verificar o ponto de equilíbrio do sistema modelado, fizemos as seguintes perturbações durante a execução da Simulação 2:

### 2.2.1 Perturbação 1: Temporada de caça de Águia

Incluimos como uma perturbação na Simulação 2, uma temporada de caça de águia, que se repete a cada  $t=40$ , a partir de  $t=40$ . Dura  $t=5$  no total, e durante esse período, a taxa de mortalidade ( $\mu_A$ ) da águia vai de 0.8 para 0.9999 e quando acaba a temporada,  $\mu_A$  volta ao valor inicial. Os resultados obtidos são apresentadas nas figuras [10] e [11] na próxima página

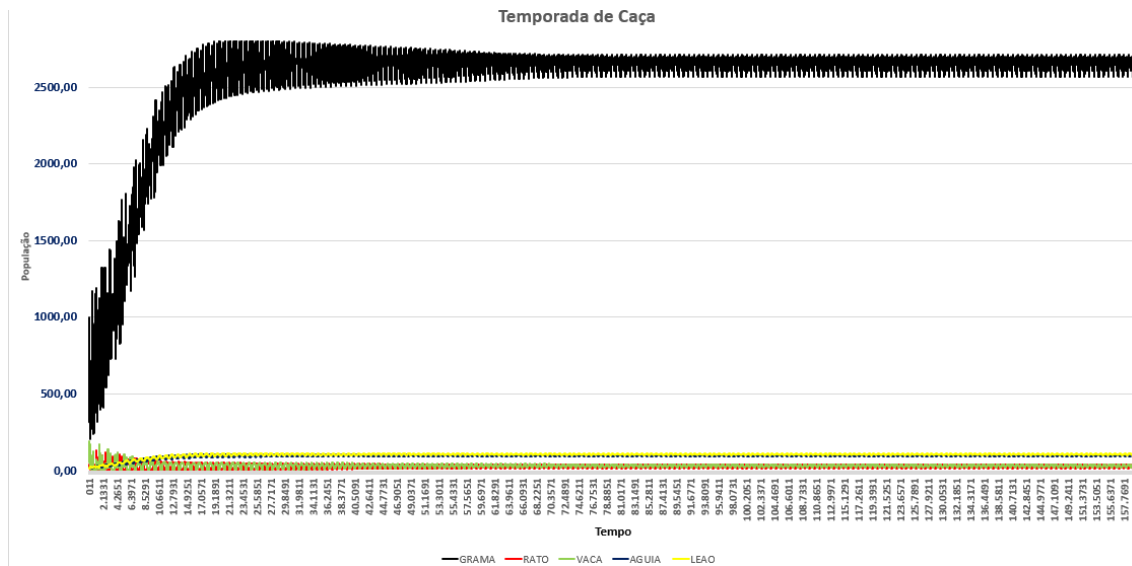


Figura 10: Gráfico das populações por tempo, sob a Perturbação 1.

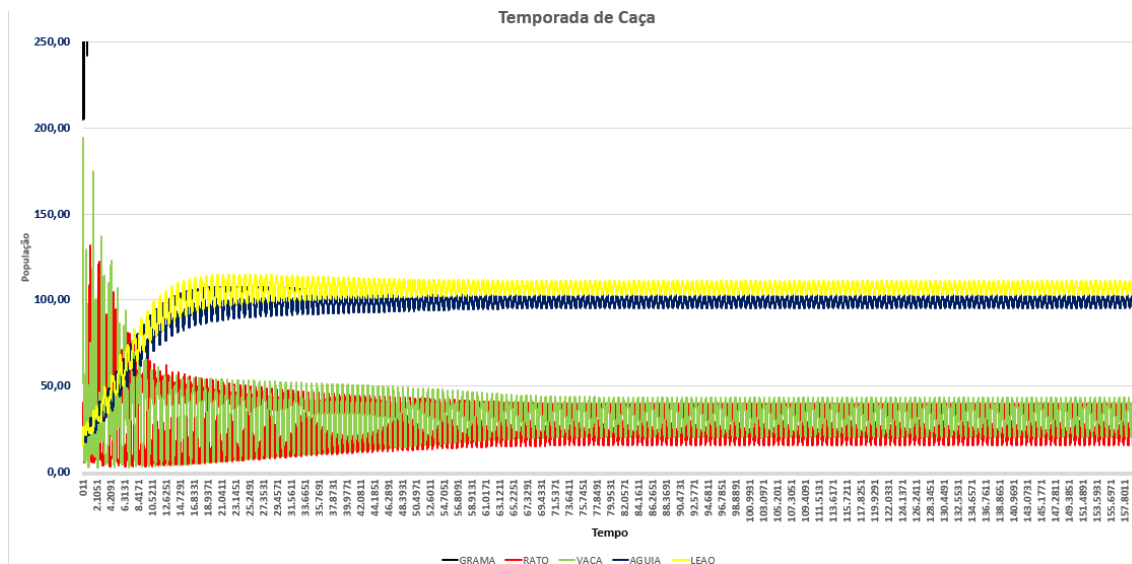


Figura 11: Gráfico anterior, com escalas diferentes.

Note que o gráfico resultante dessa perturbação não difere muito em relação ao gráfico do modelo sem perturbação, já que o  $\mu_A$  já é muito grande originalmente, e o período em que esse parâmetro varia é relativamente pequeno.

### 2.2.2 Perturbação 2: Migração de Leões

Consideramos, que após o momento em que sistema atinja estabilidade, em  $t=50$ , a população de L dobra de tamanho, decorrente de um processo migratório muito rápido. O impacto do processo nas outras populações pode ser visto no gráfico a seguir:

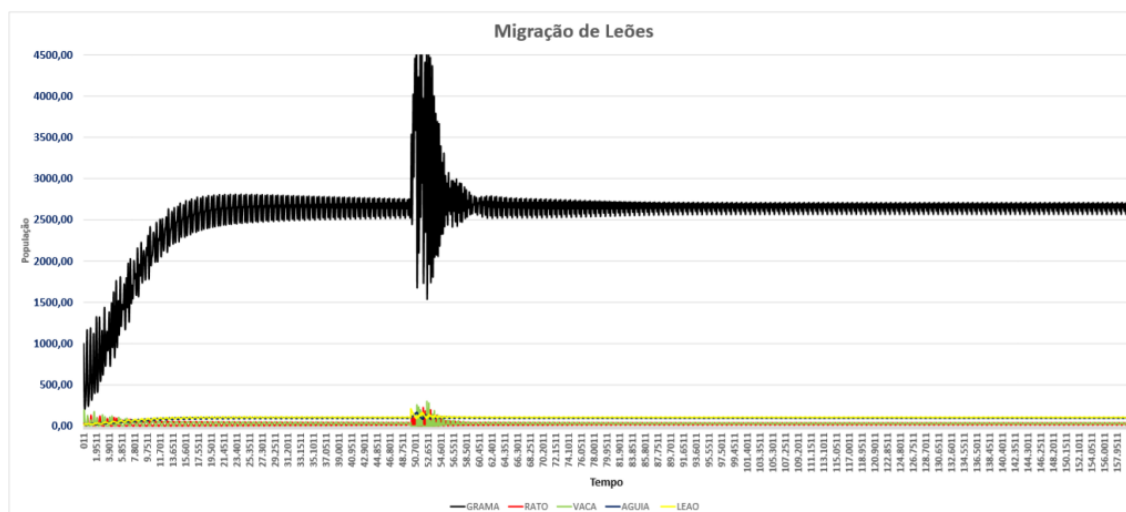


Figura 12: Gráfico das populações por tempo, sob a Perturbação 2.

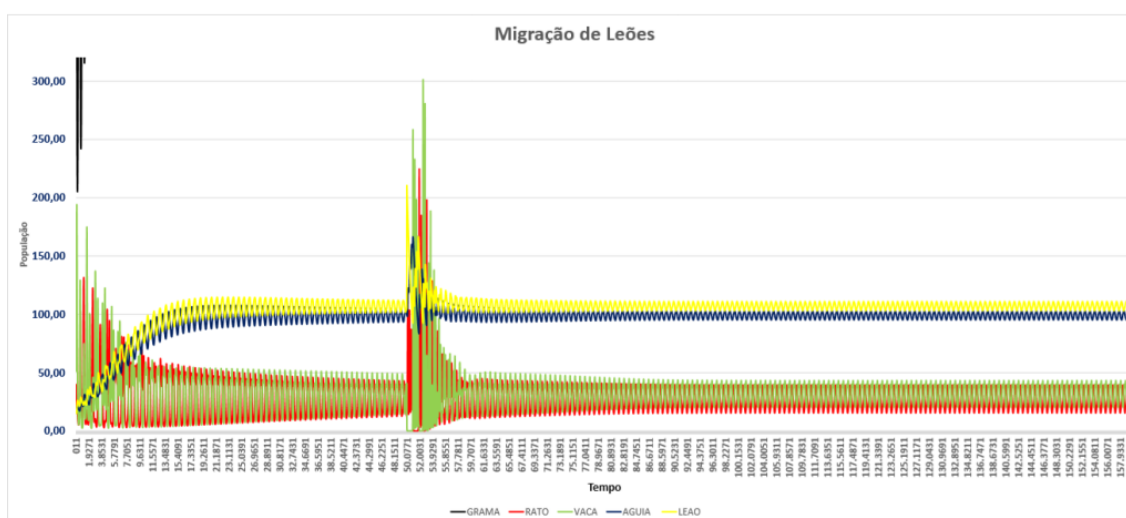


Figura 13: Gráfico anterior, com escalas diferentes.

Podemos notar que a população de L dobrando, rapidamente, V diminui, causando um aumento em G e consequentemente em R (devido ao fato de que L tem preferência em comer V, ao invés de R. A súbita redução de V, faz com que L decaia também, e assim, o comportamento do sistema fica bem instável. Mas, após  $t=10$ , as populações voltam a se estabilizar, tendendo aos mesmos valores do sistema sem perturbação. Ou seja, dobrando a população de L, não foi o suficiente pra desestabilizar o sistema no longo prazo.